

6 Ледовые условия на Дальневосточных морях

Суровость зимних условий в регионе можно проследить по поведению такой характеристики, как ледовитость моря (рис. 6-1–6-3). Графики ледовитости составлены на основе средней декадной ледовитости в % относительно общей площади моря для Охотского и Берингова морей и относительно площади предельного распространения льда для Японского моря [Якунин, 1987, Плотников, 2002]. При характеристике ледовых условий используется классификация: умеренная ($\pm\sigma$ от нормы), большая (больше нормы на σ) и малая (меньше нормы на σ) ледовитость, определяется относительно нормы 1971–2000 гг., где σ – среднее квадратическое отклонение.

Японское море

Первая половина ледового сезона на акватории Японского моря была близкой к норме с небольшим дефицитом площадных характеристик льда (льда было меньше нормы на 1–8 %). Со второй декады февраля до первой декады апреля включительно ледовые условия были мягкими – льда было меньше нормы на 1,2–2,0 σ (на 10–18 %). Максимум площади льда – 36 % от площади предельного распространения льда, отмечался в первой декаде февраля. Со второй декады февраля начался процесс разрушения льда. В апреле льдом было покрыто всего около 3–4 % площади предельного распространения льда.

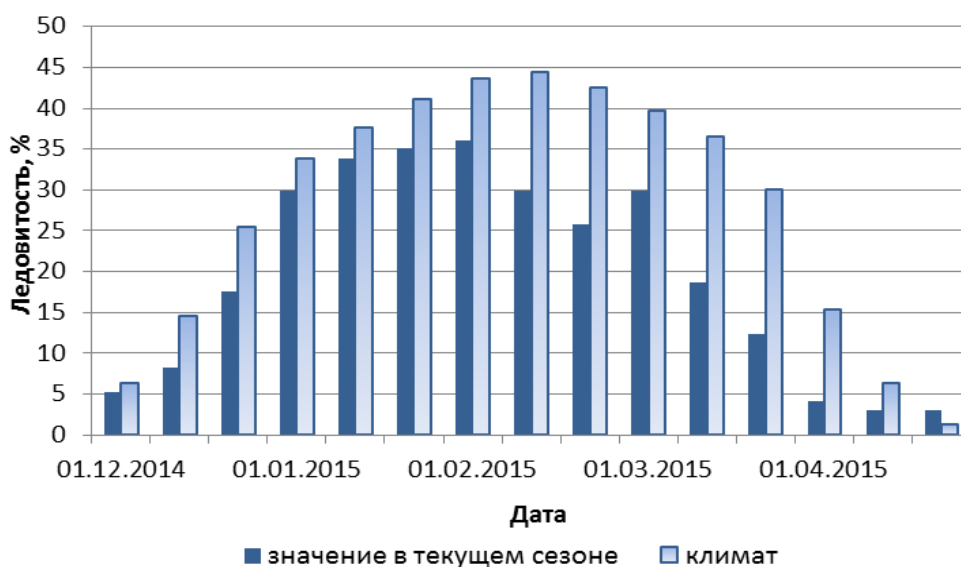


Рис. 6-1 Ледовитость Японского моря по декадам в текущем ледовом сезоне. Климатические значения ледовитости получены за период 1971–2000 гг.

Охотское море

В начале ледового сезона, в декабре и первой декаде января, ледовые условия на акватории Охотского моря были близкими к средним многолетним с небольшим дефицитом площади льда (льда было меньше нормы на 3–10 %). Со второй декады января до середины апреля ледовые условия были мягкими, в течение всех декад льда было меньше нормы на 15–33 % (на 1,2–3,1 σ). Максимальное количество льда отмечалось в первой декаде марта – льдом было покрыто 50 % площади моря. Затем ледовый покров начал разрушаться, значительное сокращение площади льда происходило в последней декаде апреля и мае. В последней декаде мая льдом было покрыто 11% площади моря, что меньше обычного на 2 % (на 0,3 σ).

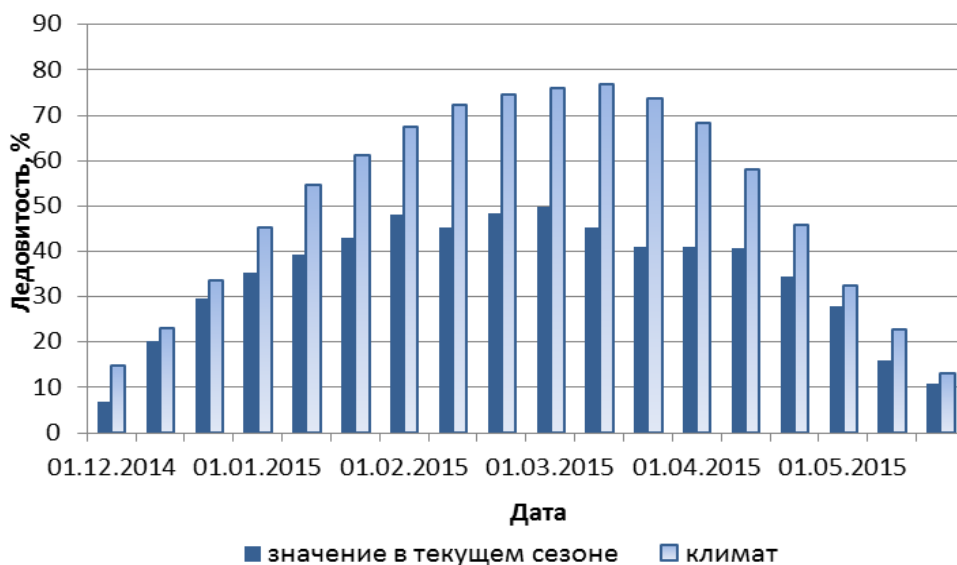


Рис. 6-2 Ледовитость Охотского моря по декадам в текущем ледовом сезоне. Климатические значения ледовитости получены за период 1971–2000 гг.

Берингово море

В целом на акватории Берингова моря ледовые условия сезона 2014-2015 гг. были близки к средним многолетним – площадь льда незначительно отличалась от нормы. Лишь в первой декаде декабря и второй декаде февраля отклонения от нормы достигали 1,0σ. В первой декаде декабря льда было меньше нормы на 5 %, а во второй декаде февраля – больше нормы на 7 %. Максимальная площадь льда зафиксирована в последней декаде февраля (37 % площади моря). Затем началось медленное уменьшение площади ледового покрова. Заметное разрушение льда отмечалось лишь в мае. В последней декаде мая льдом было покрыто 6 % площади моря (рис. 6-3), за месяц площадь льда уменьшилась на 29 %.

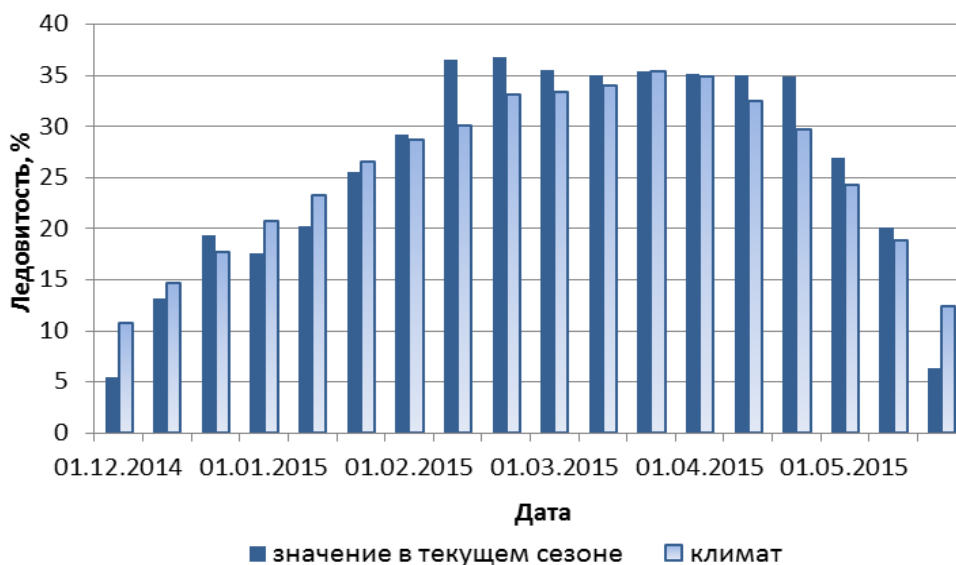


Рис. 6-3 Ледовитость Берингова моря по декадам в текущем ледовом сезоне. Климатические значения ледовитости получены за период 1971–2000 гг.